

**РОССИЙСКАЯ АКАДЕМИЯ НАУК  
ПЕТЕРБУРГСКИЙ ИНСТИТУТ ЯДЕРНОЙ ФИЗИКИ  
им. Б.П. КОНСТАНТИНОВА**

УДК 539.121.34

На правах рукописи

**Микиртычъянц Сергей Михайлович**

**Прецизионное измерение времени жизни  
 $\pi^+$ - и  $K^+$ -мезонов**

01.04.16 - физика атомного ядра и элементарных частиц

**АВТОРЕФЕРАТ**  
диссертации на соискание ученой степени  
кандидата физико-математических наук

Гатчина  
2006

Работа выполнена в Отделении физики высоких энергий Петербургского института ядерной физики им. Б.П. Константина РАН.

Научный руководитель: кандидат физико-математических наук  
В.П. Коптев.

Официальные оппоненты: доктор физико-математических наук,  
профессор Н.Н. Николаев,  
доктор физико-математических наук,  
профессор Я.А. Бердников.

Ведущая организация: Институт аналитического  
приборостроения РАН.

Защита состоится “\_\_\_\_\_” 2006 г. в \_\_\_\_\_ часов на заседании диссертационного совета Д-002.115.01 в Петербургском институте ядерной физики им. Б.П. Константина РАН по адресу:  
188300, г. Гатчина Ленинградской обл., Орлова роща, ПИЯФ РАН.

С диссертацией можно ознакомиться в научной библиотеке ПИЯФ РАН.

Автореферат разослан “\_\_\_\_\_” 2006 г.

Ученый секретарь  
диссертационного совета

И.А. Митропольский

## Общая характеристика работы

### Актуальность

Прогресс в физике элементарных частиц идет как за счет наблюдения новых частиц, так и за счет прецизионных измерений, позволяющих проверять теорию на уровне радиационных поправок. Общеизвестна роль прецизионной спектроскопии в открытии лэмбовского сдвига и аномального магнитного момента электрона, что сыграло фундаментальную роль в становлении квантовой электродинамики и квантовой теории поля вообще. Пионы играют совершенно выделенную роль в сильных взаимодействиях. Согласно современным представлениям, пионы с массой, которая аномально мала по сравнению с массами других адронов ( $m_\pi/m_N \sim 1/7$ ), являются псевдоголдстоуновскими мезонами со спонтанно и явно нарушенной киральной симметрией первого поколения夸克ов  $u$  и  $d$ . Представление о спонтанном нарушении симметрии однозначно фиксирует вид взаимодействия пионов с пионами, нуклонами и другими адронами. В киральной теории сильных взаимодействий фундаментальным параметром является константа  $f_\pi$ , связывающая пионное поле с аксиальным током. Процессом, в котором измеряется эта константа, является распад заряженного пиона  $\pi \rightarrow \mu\nu$ . В нулевом приближении, без радиационных поправок, ширина этого распада  $\Gamma(\pi \rightarrow \mu\nu)$ , практически полностью определяющего время жизни заряженного пиона, равна

$$\Gamma(\pi \rightarrow \mu\nu) = \frac{1}{8\pi} G_\mu^2 V_{ud}^2 f_\pi^2 m_\pi m_\mu^2 \left[ 1 - \frac{m_\mu^2}{m_\pi^2} \right].$$

Многие приложения требуют извлечения  $f_\pi$  уже с учетом радиационных поправок, знание которых принципиально для проверок предсказаний киральной теории возмущений. Однако радиационные поправки к ширине распада  $\Gamma(\pi \rightarrow \mu\nu)$  содержат модельную зависимость, и сегодня именно эта модельная зависимость, а не точность измерения времени жизни заряженного пиона ограничивает точность извлечения  $f_\pi$ . Модельная зависимость в значительной степени исчезает в отношении ширин распадов  $\pi \rightarrow e\nu$  и  $\pi \rightarrow \mu\nu$ . Хотя в идеальном эксперименте отношение двух ширин может быть измерено независимо от времени жизни заряженного пиона, на мезонных фабриках TRIUMF и PSI в экспериментах с остановившимися в мишени пионами при достигнутых точностях порядка 0,3% извлечение относительной ширины распада  $\pi^+ \rightarrow e^+\nu$  из экспериментальных данных становится чувствительным

к времени жизни заряженного пиона, и для достижения в извлечении этого отношения точности теоретических предсказаний  $\sim 0,08\%$  требуется знание времени жизни заряженного пиона с точностью не хуже  $0,01\%$ . Широко обсуждаемые приложения таких измерений отношения ширин распадов  $\pi \rightarrow e\nu$  и  $\pi \rightarrow \mu\nu$  позволяют проводить проверки фундаментальных выводов Стандартной модели: мюон-электронной универсальности,  $\tau$ - $\mu$ -универсальности сравнением ширин распадов  $\pi \rightarrow \mu\nu$  и  $\tau \rightarrow \pi\nu_\tau$ , ограничения на возможные псевдоскалярное и тензорное взаимодействия, а также на вклад в амплитуду распада  $\pi \rightarrow e\nu$  обмена скалярными (нижний предел на массу 1.3 ТэВ) и векторными (нижний предел на массу 220 ТэВ) лептокварками или заряженными хиггсовскими частицами (нижний предел на массу 2 ТэВ; все приведенные ограничения на массу отвечают максимальной константе связи). Очевидно, что при достижении теоретического предела точности в отношении ширин распадов уточнение времени жизни пиона станет критически важным.

Измерение времени жизни  $K^+$ -мезона также представляется актуальным, поскольку наблюдается отличие в три стандартных ошибки в усредненных значениях величины  $\tau_K$ , измеренных различными методами (на лету и в остановках). Новые измерения времени жизни  $K^+$ -мезона, возможно, помогут выяснить причину этого различия.

### Цель работы

Из рассмотренного выше следует, что новые прецизионные измерения времени жизни положительно заряженного пиона будут важным звеном в определении фундаментальной константы  $f_\pi$ , связывающей пионное поле с аксиальным током. Проведение эксперимента по измерению времени жизни  $\pi^+$ -мезона с точностью, превышающей почти на порядок всю раннюю совокупность мировых данных, было основной целью представляемой работы. Кроме того, дальнейшее развитие предложенного в этой работе нового метода измерения времени жизни  $\pi^+$ -мезона, основанного на технике поверхностных мюонов, было целью для измерения времени жизни  $K^+$ -мезона с точностью на уровне мировых данных.

### Научная новизна

- Развит новый метод измерения времени жизни  $\pi^+$ - и  $K^+$ -мезонов.
- Разработан математический и аппаратный алгоритм подавления статистических искажений при измерении временных распределений периодического пуассоновского потока событий.
- Впервые измерено время жизни  $\pi^+$ -мезона с точностью  $0,02\%$ .

## Положения, выносимые на защиту

1. Разработан и впервые применен новый метод измерения времени жизни  $\pi^+$ - и  $K^+$ -мезонов, основанный на использовании периодичности микроструктуры пучка протонов, взаимодействующих с мишенью, и на детектировании положительно заряженных мюонов из распада  $\pi^+$ - и  $K^+$ -мезонов, рожденных и остановившихся в этой мишени.
2. Создана экспериментальная установка, позволяющая проводить измерения времени жизни  $\pi^+$ - и  $K^+$ -мезонов с относительной систематической точностью  $7,5 \cdot 10^{-5}$  и  $5,5 \cdot 10^{-4}$ , соответственно.
3. Разработан измеритель временных интервалов ИВИ с системами абсолютной временной калибровки и подавления статистических искажений, суммарный вклад которых в относительную ошибку результатов измерений  $\tau_{\pi^+}$  и  $\tau_{K^+}$  не превышает  $3,5 \cdot 10^{-5}$ .
4. Измеренные значения времени жизни  $\pi^+$ -мезона на различных мишенях

$$\begin{aligned}\tau_{\pi^+}(\text{C}) &= 26,0349 \pm 0,0078 \text{ нс}, \\ \tau_{\pi^+}(\text{Cu}) &= 26,0329 \pm 0,0076 \text{ нс}, \\ \tau_{\pi^+}(\text{SiO}_2) &= 26,0418 \pm 0,0096 \text{ нс}\end{aligned}$$

согласуются между собой в пределах ошибок и дают по суммарному спектру значение времени жизни  $\pi^+$ -мезона

$$\tau_{\pi^+} = 26,0361 \pm 0,0052 \text{ нс}, \chi^2 = 0,97, C.L. = 0,60.$$

Точность измерения почти на порядок превосходит точность предыдущих работ и полученное значение является определяющим в мировых данных.

5. Значения времени жизни  $K^+$ -мезона, измеренные для медной и урановой мишеней

$$\begin{aligned}\tau_{K^+}(\text{Cu}) &= 12,368 \pm 0,041 \text{ нс } (\chi^2 = 1,06 \text{ } C.L. = 0,66) \text{ и} \\ \tau_{K^+}(\text{U}) &= 12,451 \pm 0,030 \text{ нс } (\chi^2 = 1,07 \text{ } C.L. = 0,63),\end{aligned}$$

отличаются друг от друга на две стандартные ошибки и дают средневзвешенное значение :

$$\tau_{K^+} = 12,415 \pm 0,024 \text{ нс},$$

которое подтверждает значение времени жизни  $K^+$ -мезонов, измеренное ранее методом остановок.

## **Практическая и научная ценность диссертации**

Развитая в этой работе методика привела к улучшению на один порядок точности измерения времени жизни  $\pi^+$ -мезона. Табличное значение времени жизни  $\pi^+$ -мезона, приводимое Particle Data Group, основано именно на результатах этой работы в совокупности с результатом, полученным на мезонной фабрике TRIUMF на основе нашей методики. Измеренное в данной работе время жизни  $K^+$ -мезона также входит в группу самых точных измерений, определяющих табличное значение, цитируемое Particle Data Group.

Разработанная методика выделения  $K^+$ -мезонов путем регистрации задержанных мюонов с успехом применяется в экспериментах на спектрометре ANKE ускорителя COSY в экспериментах по исследованию реакций с образованием каонов.

## **Апробация**

Основные результаты работы были представлены на IV Всесоюзном семинаре “Программа экспериментальных исследований на мезонной фабрике ИЯИ АН СССР” (Звенигород, 1985 г.), а также на Международном симпозиуме по проблемам взаимодействия мюонов и пионов с веществом “Мезоны в веществе - 87” (Дубна, 1987 г.). Измеренные в данной работе значения времени жизни  $\pi^+$ - и  $K^+$ -мезонов входят в группу самых точных измерений, цитируемых Particle Data Group.

## **Структура и объем диссертации**

Диссертация состоит из введения, пяти глав и заключения и содержит 89 страниц, 41 рисунок, 5 таблиц и 62 библиографических ссылки.

## **Содержание работы**

**Введение** содержит формулировку основной цели работы и подчеркивает ее актуальность.

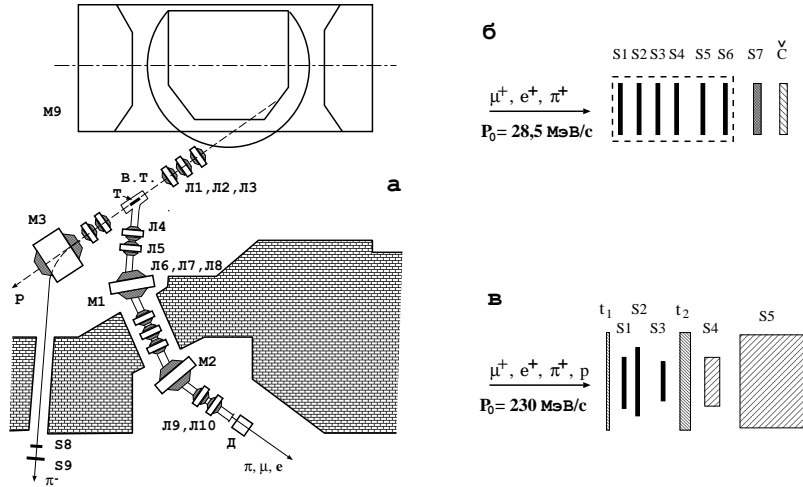
**Глава 1** содержит обзор и сравнение достижимой точности известных методов измерения времени жизни заряженных элементарных частиц на примере  $\pi^+$ -мезона. Показаны достоинства и недостатки измерения времени жизни методами пролета и в остановках. Новый метод измерения времени жизни  $\pi^+$ - и  $K^+$ -мезонов отличается от ранее используемых. Предложенный метод основан на использовании периодичности временной микроструктуры пучка протонов ускорителя, взаимодействующих с мишенью, в которой рождаются  $\pi^+$ - или  $K^+$ -мезоны, и на детектировании положительно заряженных мюонов из распада

$\pi^+$ - или  $K^+$ -мезонов, рожденных и остановившихся в этой же мишени и отобранных магнитным спектрометром. Временная микроструктура выведенного из ускорителя протонного пучка представляет собой периодическую последовательность микробанчей конечной ширины с малой вероятностью появления протонов во временных интервалах между микробанчами. Следовательно, протоны, попадая в мишень, в преобладающем числе случаев рождают  $\pi^+$ - или  $K^+$ -мезоны в течение микробанчей. Мгновенно после образования часть  $\pi^+$ - или  $K^+$ -мезонов останавливается в той же мишени и затем, во временных промежутках между микробанчами, экспоненциально распадаются на нейтрино и  $\mu^+$  с импульсами 29,8 МэВ/с ( $\pi^+$ -распад) или 236 МэВ/с ( $K^+$ -распад). Вылетая из глубины мишени,  $\mu^+$  теряют за счет ионизационных потерь импульс и приобретают импульсный разброс. Результирующее временное распределение интенсивности положительно заряженных мюонов имеет экспоненциальный вид с характерным измеряемым временем жизни  $\tau$  во временном интервале  $\Delta t$ , ограниченном переходной областью, величина которой зависит от длительности протонного микробанча и разброса мюонов по времени пролета от мишени до детектора, определяемым импульсом, на который настроен спектрометр, и его импульсным разрешением.

Основой рассмотренного метода измерения времени жизни частиц является, фактически, наблюдение за изменением популяции (количества) исследуемых частиц в некотором объеме, определяемом угловым захватом (аксептантом) спектрометра. Если частица распадается по нескольким каналам, то даже один экспериментально наблюдаемый канал несет полную информацию об изменении популяции (количества) исследуемых частиц в просматриваемом спектрометром объеме. Относительная вероятность детектируемого канала влияет лишь на скорость набора статистики. Возможным процессом, изменяющим популяцию частиц в фиксированном объеме, является диффузия. Однако для остановившихся в веществе частиц с энергией порядка тепловых ( $T = 0,05 \text{ эВ}/K^\circ$ ) за время порядка десятков наносекунд глубина диффузии составляет порядок микронов, внося вклад в измерение времени жизни менее  $10^{-5}$ . Величина других ошибок измерения времени жизни  $\pi^+$ - или  $K^+$ -мезонов зависит от вклада фоновых процессов и особенностей работы электроники.

В главе 2 описывается экспериментальная установка для измерения времени жизни  $\pi^+$ - или  $K^+$ -мезонов.

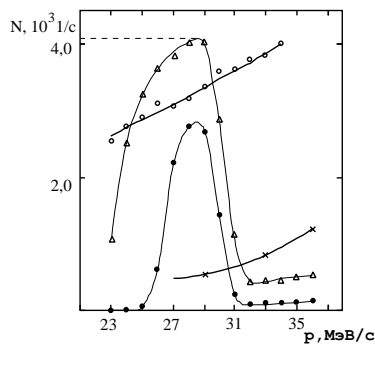
Работа выполнена на синхроциклотроне ПИЯФ РАН. Временная микроструктура выведенного из ускорителя протонного пучка представ-



**Рис. 1:** Схема расположения аппаратуры (а) и детекторов (б и в) для регистрации мюонов от  $\pi^+$ - и  $K^+$ -распадов

ляет собой последовательность микробанчей с шириной на полувысоте 5 нс и периодом следования  $T_0 = 75$  нс. Вероятность появления протонов во временном интервале  $\Delta t = 35$  нс между микробанчами не превышала  $10^{-6}$ . Протоны, попадая в мишень (Т на рис. 1а), рождают  $\pi^+$ - или  $K^+$ -мезоны, которые в той же мишени останавливаются и распадаются на моноэнергетические мюоны. Вылетая из глубины мишени, мюоны теряют за счет ионизационных потерь импульс и приобретают импульсный разброс, который в условиях проведенных экспериментов был равен  $0 \div 29,8$  МэВ/с или  $215 \div 236$  МэВ/с. Часть этих мюонов вылетает под углом  $60^\circ \pm 5^\circ$  к направлению протонного пучка и отбирается магнитным спектрометром с импульсным разрешением 5%, в качестве которого использовался канал  $\pi - 2$  (М1, М2, Л4-Л10 на рис. 1а) синхротрона ПИЯФ РАН (М9). Средний импульс, на который настроен спектрометр, выбирался равным 28,5 МэВ/с ( $\pi^+$ -распад) или 230 МэВ/с ( $K^+$ -распад). Спектрометр захватывает и фоновые мюоны, которые образуются от  $\pi^+$ -мезонов, вылетевших из мишени в направлении спектрометра и распавшихся в головной его части. Однако практически все фоновые мюоны образуются в течение 5 нс после момента взаимодействия протонов с мишенью и не попадают во временной интервал  $\Delta t$ , используемый для измерения времени жизни.

Мишень помещена в вакуумную камеру (В.Т.) спектрометра, за тонким (0,1 мм майлара) выходным окном которой на расстоянии 8 м от



**Рис. 2:** Зависимость от импульса скорости счета позитронов ( $\circ$ ),  $\pi^+$ -мезонов ( $\times$ ), регистрируемых совпадениями счетчиков  $S1 \div S2$ , мюонов ( $\Delta$ ), регистрируемых счетчиком  $S1$  и мюонов ( $\bullet$ ), регистрируемых совпадением счетчиков  $S1 \div S4$ . Пунктиром указан импульсный спектр "запаздывающих" мюонов из толстой мишени (углерод толщиной 5 мм)

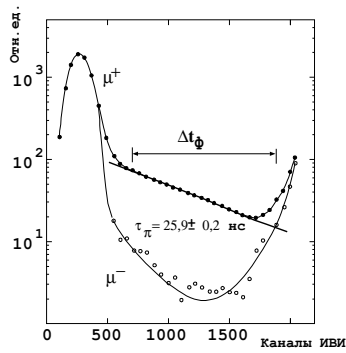
мишени расположен детектор. Детекторы ( $\mathcal{D}$  на рис. 1а) для регистрации мюонов от  $\pi^+$ - и  $K^+$ -распадов, состоящие из телескопов сцинтилляционных счетчиков, показаны на рис. 1б и рис. 1в, соответственно.

В разделе 2.1 рассматривается спектрометр, в качестве которого использовался пи-мезонный канал малых энергий (канал  $\pi - 2$ ) в симметричной ахроматической схеме с триплетом в роли полевой линзы для получения малых размеров пучка на выходе при импульсном разрешении  $\Delta P/P \sim 5\%$ .

В разделе 2.2 описаны детекторы мюонов и приведен анализ фоновых частиц для  $\pi^+$ - и  $K^+$ -распадов.

**$\pi^+$ -распад.** Детектор положительно заряженных мюонов (рис. 1б) состоит из четырех счетчиков ( $S1, S2, S3, S4$ ) с тонкими радиаторами, изготовленными из сцинтиллирующей пластмассы с повышенным световым выходом. Толщина радиаторов равна  $(0,06 \div 0,1)$  мм при диаметре 65 мм. Суммарная толщина детектора не превышает  $0,075$  г/см $^2$ , что позволяет регистрировать только одним первым счетчиком ( $S1$ ) мюоны с импульсами, большими 23 МэВ/с (рис. 2). Сборка из четырех счетчиков регистрирует лишь небольшую часть всего импульсного спектра "запаздывающих" мюонов в диапазоне импульсов  $(25 \div 29,8)$  МэВ/с (энергия мюонов  $\sim 4$  МэВ).

Все основные измерения времени жизни  $\pi^+$ -мезонов были выполнены при импульсе 28,5 МэВ/с, соответствующем максимуму детектируемого спектра мюонов. Импульс, на который настроен спектрометр, определяет среднюю глубину  $x$ , а импульсное разрешение спектрометра — ширину слоя  $\Delta x$  мезонообразующей мишени, в котором происходит образование "задержанных" мюонов, регистрируемых детектором. Весь остальной объем мишени излучает только фоновые частицы,

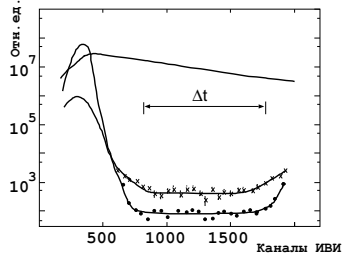


**Рис. 3:** Временные спектры  $\mu^+$  и  $\mu^-$ , регистрируемых детектором с включением всех критериев отбора мюонов при импульсе  $P = 28,5$  МэВ/с. Измерения выполнены с майларовым фильтром толщиной 0,4 мм на входе спектрометра  $L_\Phi = 20$  см. Выполнено суммирование по 50 каналам, но начальная нумерация каналов сохранена

основной поток которых составляют позитроны. Поскольку ионизационные потери  $e$  и  $\mu$  отличаются приблизительно в 10 раз, то выбором порогов дискриминации счетчиков S1÷S4 можно уменьшить эффективность регистрации  $e^+$  каждым из счетчиков до уровня  $0,005\div0,01$  при практически стопроцентной эффективности регистрации мюонов. Четырехкратные совпадения счетчиков S1÷S4 позволяют уменьшить эффективность регистрации  $e^+$  до величины  $< 10^{-8}$  и полностью устранить влияние позитронов на результаты измерений. Эффективность регистрации  $e^+$  счетчиками S1÷S4 измерялась по совпадениям с черенковским счетчиком С и счетчиком S7, детектирующими только позитроны.

Другим источником возможных систематических ошибок являются  $\pi^+$ -мезоны, отбираемые спектрометром и не успевшие распасться. При импульсе 28,5 МэВ/с доля их не велика ( $\sim 0,2\%$ ), но в спектре по времени пролета они должны образовывать узкий пик, попадающий в середину рабочего временного интервала  $\Delta t$ . И хотя эти  $\pi^+$ -мезоны останавливаются в середине детектора, проходя радиаторы только первых двух счетчиков (S1 и S2), мюоны от их распада могут быть зарегистрированы в счетчиках S3 и S4, имитируя полезные события. Небольшая часть положительно заряженных мюонов от  $\pi^+$ -мезонов с импульсом 28,5 МэВ/с, распавшихся на лету после магнита M2, имеет импульс  $> 35$  МэВ/с и по времени пролета находится в рабочем интервале  $\Delta t$ . Для подавления рассмотренных источников фона были применены узкие кривые задержанных совпадений ( $\leq 10$  нс) для S2 и S3 (подавление ложных  $\pi^+\mu^+$ -совпадений), антисовпадения с сигналами дискриминаторов верхнего порога  $D_1^*$  и  $D_2^*$  счетчиков S1÷S2 (подавление  $\pi^+$ -мезонов) и антисовпадения с сигналами счетчиков S5 и S6, регистрирующими фоновые мюоны с импульсом  $> 35$  МэВ/с.

Пороги и  $D_1^*$   $D_2^*$  можно выбрать только в рабочих условиях, то есть



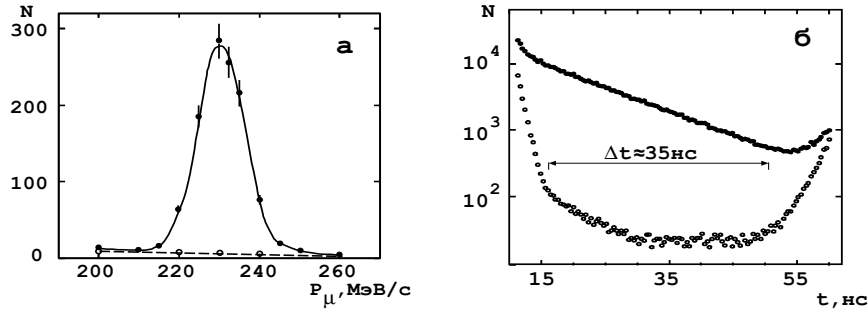
**Рис. 4:** Временные распределения “запаздывающих” мюонов (—), фоновых мюонов (×) и  $\pi^-$ -мезонов (●) с импульсом 600 МэВ/с, вылетающих из мезонообразующей мишени под углом  $0^\circ$ .

на положительно заряженных частицах и при импульсе 28,5 МэВ/с, уменьшив в  $\sim 1000$  раз поток мюонов от распада  $\pi^+$ -мезонов, остановившихся в мишени, с помощью тонкого фильтра ( $\sim 0,1$  г/см $^2$ ), установленного между мезонообразующей мишенью и первым поворотным магнитом M1. Фоновые частицы ( $e^+$ ,  $\mu^+$  и  $\pi^+$ ) имеют значительно более широкие импульсные спектры, которые практически не изменяются после прохождения частицами этого тонкого фильтра.

Временной спектр положительно заряженных мюонов, зарегистрированный счетчиками S1÷S4 с применением всех критериев отбора мюонов, приведен на рис. 3. Таким образом видно, что фон частиц в рабочем временном интервале  $\Delta t$  связан только с краями пика ( $> 4\sigma_\mu$ ) фоновых мюонов, что подтверждает измеренный временной спектр отрицательно заряженных мюонов при импульсе 28,5 МэВ/с (см. рис. 3).

Анализ вклада фоновых частиц в рабочем временном интервале  $\Delta t$  показывает, что фон не должен превышать величины, составляющей  $(1,5 \div 2) \cdot 10^{-4}$  от счета запаздывающих мюонов из мишени. Все фоновые компоненты присутствуют неискаженными в спектре мюонов, полученным при измерении с фильтром толщиной 0,4 мм на входе спектрометра. Этот спектр был использован нами как фоновый и вычитался при обработке результатов измерения. Обработка фонового спектра (рис. 3) в интервале  $\Delta t_\phi$  с вычитанием из него спектра отрицательно заряженных мюонов дала значение  $\tau_\pi = (25,9 \pm 0,2)$  нс, которое в пределах ошибок измерений совпадает с табличным значением времени жизни  $\pi^+$ -мезона. Окончательное соотношение фон—эффект, полученное во время сеанса по измерению времени жизни  $\pi^+$ -мезонов, приведено на рис. 4. Микроструктура протонного пучка измерялась непрерывно с помощью счетчиков S8, S9 по  $\pi^-$ -мезонам, вылетающим из мезонообразующей мишени под углом  $\theta_\pi = 0^\circ$ . Приведенные выше фоновые характеристики позволяют проводить измерения времени жизни  $\pi^+$ -мезонов с относительной точностью  $\lesssim 10^{-4}$ .

**$K^+$ -распад.** Применённый в данной работе метод регистрации рас-



**Рис. 5:** Импульсные спектры мюонов (а), отобранных во временному интервале  $\Delta t$  и часть временного распределения (за пределами переходной области) мюонов (б) с импульсом 230 МэВ/с (верхняя кривая) и суммарный фоновый спектр мюонов с импульсами 210 МэВ/с и 260 МэВ/с

пада исследуемой частицы ( $\pi^+$ - или  $K^+$ -мезона) основан на регистрации одного из продуктов её двухчастичного распада: положительно заряженного мюона. Для  $K^+$ -мезонов относительная вероятность такого канала распада ( $K^+ \rightarrow \mu^+ \nu$ ) с образованием моноэнергетических мюонов ( $P_\mu = 236$  МэВ/с) составляет величину 0,63. Вылетая из глубины мишени, мюоны за счет ионизационных потерь приобретают импульсный разброс и теряют импульс. Измерения времени жизни  $K^+$ -мезона были выполнены с медной и урановой мишениями толщиной  $\sim 10$  г/см<sup>2</sup>, при этом средний импульс мюонов составлял 230 МэВ/с. Детектор (рис. 1б) на выходе спектрометра состоит из телескопа сцинтилляционных счетчиков S1÷S5 и фильтра  $t_2$  для разделения пионов и мюонов по пробегам. Тонкий медный фильтр  $t_1$  толщиной 2,5 г/см<sup>2</sup> останавливал протоны и более тяжелые частицы на входе в детектор. Применение магнитного спектрометра и  $(\Delta E, E)$ -метода в сочетании с фильтрами позволило надежно выделять мюоны от распада  $K^+ \rightarrow \mu^+ \nu$  на уровне фона позитронов, пионов и других частиц того же импульса, составляющего  $\sim 10^5$ .

Подтверждением того, что наблюдаемое импульсное распределение мюонов формируется именно распадом  $K^+ \rightarrow \mu^+ \nu$ , является отсутствие аналогичного пика в импульсном спектре отрицательно заряженных мюонов (рис. 5а). Это связано, во-первых, с особенностями методики регистрации, так как остановившиеся в мишени  $K^-$ -мезоны будут захватываться ядрами до момента распада, и, во-вторых, рождение  $K^-$

мезонов при энергии протонов  $T_p \sim 1000$  МэВ невозможно из-за существенно более высокого порога этой реакции.

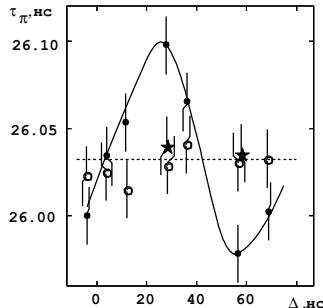
Практически все фоновые мюоны образуются во время протонного микробанча и определяют величину переходной области, а мюоны от распада остановившихся  $K^+$ -мезонов имеют в рабочей области  $\Delta t$  экспоненциально спадающее распределение, определяемое временем жизни  $K^+$ -мезона. Возможными источниками ошибок, связанными с микроструктурой протонного пучка, являются:

- крутизна спада интенсивности на краях микробанча и
- вывод протонов в промежутке между микробанчами.

В то время, как первый источник возможных ошибок приводит лишь к уменьшению величины рабочего интервала  $\Delta t$ , второй источник не поддается коррекции и может полностью исказить результат. В связи с этим непрерывно в течение набора статистики уровень фона, связанный с микроструктурой протонного пучка, контролировался сцинтиляционными счетчиками S8 и S9 (рис. 1) по  $\pi^-$ -мезонам, вылетающим из мезонообразующей мишени под углом  $\theta_\pi = 0^\circ$ , и во временном окне 40 нс составляя не более  $\sim 5 \cdot 10^{-6}$  от количества протонов в бенче. Измеренное временное распределение мюонов с импульсом 230 МэВ/с приведено на рис. 5б. Вклад фона мюонов от  $\pi \rightarrow \mu^+ \nu$ -распада, измеренных при импульсах  $P_\mu = 210$  МэВ/с и 260 МэВ/с, во временном интервале  $\Delta t = 35$  нс не превышает  $10^{-3}$ . Достигнутые фоновые характеристики позволяют измерять время жизни  $K^+$ -мезонов с относительной точностью  $\sim 10^{-3}$ .

В разделе 2.3 рассмотрены вопросы измерения временных распределений и, в частности, их **аппаратурные искажения**. Задача измерения времени жизни  $\pi^+$ - и  $K^+$ -мезонов сводится к накоплению спектра временных интервалов между сигналами, зарегистрированными детектором пуассоновского периодического потока (распадные мюоны), и периодическими реперными сигналами, привязанными к определенной фазе ускоряющего ВЧ-напряжения ускорителя с периодом  $T_o = 75$  нс, определяющими моменты рождения  $\pi^+$ - и  $K^+$ -мезонов.

Систематические ошибки, связанные с искажением формы исходного временного распределения, возникают из-за мертвых времен в электронных схемах канала регистрации: дискриминаторах, схемах совпадений ( $\tau_M$ ), и в измерителе временных интервалов ( $T_M$ ). Искажения формы оказываются тем больше, чем больше величина  $\tau_M$  и плотность исходного потока  $\lambda$  (среднее число частиц в интервале  $T_o$ ). Искажения формы временного распределения, связанные с мертвым временем детектора  $\tau_M$ , могут быть уменьшены до величины  $\sim (\lambda \tau_M / T_0)^2$ , если из



**Рис. 6:** Зависимость результата измерений  $\tau_\pi$  от  $\Delta$  для  $T_M = k_i T_0 + \Delta$  при ( $\bullet$ )  $\lambda = 2 \cdot 10^{-2}$  (нерастянутый пучок) и ( $\star$ ) при  $\lambda = 4 \cdot 10^{-4}$  (растянутый пучок).  $\circ$  — восстановленные расчетным путем значения  $\tau_\pi$  для  $\lambda = 2 \cdot 10^{-2}$ ; пунктир — результат основных измерений  $\tau_\pi$

потока событий выбрать лишь те, до которых в интервале, кратном  $T_0$ , не было предыдущего события. Отбор по такому критерию осуществляется блоком охраны на базе одновибратора с продлевающимся мертвым временем.

Наибольшие искажения формы временного распределения возникают при отборе сигналов на измерение. Они связаны с плавающим мертвым временем  $T_M$  измерителя временных интервалов ИВИ, средняя величина которого составляет  $\sim 15$  мкс.

Если разрешать измерение в той же фазе периода  $T_0$  (конец интервала  $T_M$  или снятие  $T_M$ ), в которой было начато предыдущее измерение (начало интервала  $T_M = k_i T_0$ ), то процедура измерения в интервале  $T_0$  будет непрерывна, т.е. эффективное мертвое время измерителя становится нулевым, и, следовательно, искажения отсутствуют. Однако даже небольшое изменение  $\Delta$  условия кратности  $T_M = k_i T_0 + \Delta$  приводит к значительным искажениям, зависящим от  $\lambda$ . Экспериментальное исследование при  $\lambda \sim 1$  влияния способов снятия  $T_M$  позволило развить и проверить математический аппарат<sup>1</sup> и применить для основных измерений времени жизни простой способ — случайное снятие  $T_M$ , обеспечивающий случайный запуск ИВИ и дающий искажения  $\sim 1/3$ , которые учитывались расчетным путем<sup>1</sup> при обработке временных спектров. Контрольные измерения времени жизни  $\tau_\pi$  при загрузках, отличающихся в 50 раз (рис. 6), дали при использовании этой методики совпадающие результаты. Основные измерения были выполнены на растянутом пучке со случайным запуском ИВИ. Относительная систематическая ошибка, связанная с нестабильностью  $\lambda$ , составляла не более  $2 \cdot 10^{-5}$ .

В **следующих подразделах** приведено описание измерителя вре-

---

<sup>1</sup>Н.К. Абросимов, В.П. Концев. Статистические искажения при измерении формы временных распределений периодических пуассоновских потоков сигналов. Препринт ЛИЯФ-1119, Л., (1985), 50 стр.

менных интервалов и системы сбора данных, построенных на базе разработанных в ПИЯФ преобразователя времени—код и линейки модулей специализированных контроллеров накопления данных в автономной памяти, выполненных в стандарте КАМАК. В **подразделе 2.3.4** описаны способы контроля метрологических параметров ИВИ.

В **главе 3** рассмотрена процедура измерения для  $\pi^+$ - и  $K^+$ -распадов. Во время измерений непрерывно контролировались:

- загрузки детектора и среднее количество мюонов  $\lambda$ ,
- амплитуды ВЧ-наводок,
- фон между микробанчами  $N_\Delta/N_{\pi^-}$  в рабочем интервале  $\Delta t$ ,
- параметры ИВИ: средняя ширина канала  $\Delta t_k$  и функция нелинейности  $f_n$ .

Для выявления возможных дополнительных источников систематических ошибок измерения были выполнены с мезонообразующими мишнями из графита (С) и меди (Cu). Замена мишени приводила к изменению многих условий эксперимента: менялись загрузки детектора и  $\lambda$  (в 2 раза), количество  $e^+$  (в 10 раз), ширина рабочего слоя мишени. В случае использования комбинированных мишеней меньше изменяется загрузка детектора, но остается неизменным количество  $e^+$ . Комбинированная мишень была составлена из медной, являющейся основным поставщиком  $\pi^+$ -мезонов и электронов, и приставленной к ней вплотную (со стороны спектрометра) тонкой мишени из графита (С) или кварца ( $\text{SiO}_2$ ), в которой и происходила остановка  $\pi^+$ -мезонов с образованием “задержанных” мюонов. Измерения  $\tau_\pi$  выполнялись сериями длительностью  $\sim 90$  мин. Статистика в каждой серии была достаточной ( $\sim 1,5 \cdot 10^7$  событий) для обеспечения относительной точности измерения  $\tau_\pi$  лучше чем  $10^{-3}$ . Фоновые спектры измерялись для каждой из мишеней. Относительное мониторирование проводилось по  $\pi^-$ -мезонам (счетчики S8, S9 на рис. 1) для определения величины коэффициента вычитания фона.

Измерения времени жизни  $K^+$ -мезона были выполнены на медной (Cu) и урановой (U) мишенях во время двух сеансов общей продолжительностью  $\sim 400$  часов. В первом сеансе была набрана основная статистика для медной мишени, а во втором – для урановой. Такое планирование эксперимента было направлено на исключение возможных систематических ошибок, связанных с работой синхроциклотрона ПИЯФ. Фоновые измерения проводились при импульсах 210 МэВ/с и 260 МэВ/с для каждой из мишеней с соответствующим изменением толщины фильтра  $t_2$  для сохранения оптимальных условий сепарации мюонов при фоновых измерениях.

В главе 4 описывается процедура обработки временного распределения

$$N_{\text{эфф}}(I) = (N_{\text{эксп}}(I) - \alpha N_{\Phi}(I)) \cdot 1/(f_{\text{H}}(I) \cdot \eta(I)),$$

где  $N_{\text{эксп}}(I)$  — спектр, измеренный в рабочих условиях (эффект + фон) и  $N_{\Phi}(I)$  — фоновый спектр. Коэффициент вычитания фона  $\alpha$  определялся относительным мониторированием  $N_{\text{эксп}}$  и  $N_{\Phi}$ . Для каждого канала  $I$  спектра  $N_{\text{эфф}}(I)$  учитывались нормированные на единицу функция нелинейности  $f_{\text{H}}(I)$  и функция искажений  $\eta(I)$  формы временного распределения за счет  $T_{\text{M}}$ . Центр тяжести каждого канала (время) спектра  $N_{\text{эфф}}(I)$  с учетом  $f_{\text{H}}$  и средней шириной канала  $\Delta t_{\text{K}}$  определялся как

$$t_I = 1/2 \cdot (I \cdot f_{\text{H}}(I) + (I + 1) \cdot f_{\text{H}}(I + 1)) \cdot \Delta t_{\text{K}}.$$

Временное распределение  $N_{\text{эфф}}(I)$  аппроксимировалось функцией  $N(I) = N_o \exp((t_o - t_I)/\tau)$ . Параметры  $N_o$  и  $\tau$  и их ошибки определялись методом наименьших квадратов программой FUMILI из пакета CERN Library. На этом этапе обработки при вычислении ошибок  $\tau$  и  $N_o$  учитывались только статистические ошибки спектров  $N_{\text{эксп}}(I)$ ,  $N_{\Phi}(I)$  и  $f_{\text{H}}(I)$ .

Для получения окончательных результатов обрабатывались данные в рабочем временном интервале  $\Delta t$ . Приблизительное его положение в спектре было определено из фоновых измерений. Затем один из старших каналов закреплялся как максимальный канал интервала  $\Delta t$  и находился набор значений  $\tau^i$  в зависимости от длительности интервала  $\Delta t$  варьированием минимального канала. По равенству в пределах точности значений  $\tau^i$  определялась левая граница (начало) интервала  $\Delta t$ . Далее с этой фиксированной границей аналогичной процедурой определялась правая граница (конец) рабочего интервала  $\Delta t$ . Для полученного набора значений  $\tau^i$  находилось квадратичное средневзвешенное значение

$$\tau = \sqrt{\sum (\tau^i / \delta^i)^2 / \sum (1/\delta^i)^2},$$

которое и принималось за окончательный результат измерений.

Включение в усреднение  $+50 \div -150$  каналов за пределами выбранного интервала  $\Delta t$  приводило к изменению  $\tau_{\pi}$  не более, чем на  $6 \cdot 10^{-5}$ , что можно рассматривать как дополнительную систематическую ошибку  $\delta_{\Delta t}$  в измерении  $\tau_{\pi}$  за счет неточности определения рабочего временного интервала.

Для выяснения систематических ошибок, связанных с вычитанием фонового спектра, данные обрабатывались по аналогичной процедуре

**Таблица 1:** Результаты измерений  $\tau_{\pi^+}$  для различных мишеней

Мишень	$\tau_\pi$ , нс	$\chi^2$	C.L.
C	$26,0349 \pm 0,0078$	0,98	0,86
Cu	$26,0329 \pm 0,0076$	0,89	0,44
SiO <sub>2</sub>	$26,0418 \pm 0,0096$	1,04	0,73

для различных величин коэффициента вычитания фона  $\alpha$ . При точности определения  $\alpha$ , равной 10%, систематическая ошибка измерения  $\tau_\pi$  равна  $2 \cdot 10^{-5}$ . В качестве статистической ошибки использовалась ошибка  $\delta_F$ , получаемая в результате обработки данных в рабочем интервале  $\Delta t$ .

В главе 5 приведены результаты измерений времени жизни  $\pi^+$ - и  $K^+$ -мезонов. При вычислении результирующей относительной ошибки измерений  $\delta\tau$  учитывалась как относительная статистическая ошибка  $\delta_F$ , вычисляемая с помощью программы FUMILI, так и суммарная систематическая ошибка  $\delta_c$ . В последнюю включались относительные ошибки как общие для  $\pi^+$ - и  $K^+$ -мезона:

- ВЧ-наводки  $1 \cdot 10^{-5}$ ;
- мертвые времена ( $\tau_M$  и  $T_M$ )  $2 \cdot 10^{-5}$ ;
- калибровка и нелинейность  $2,5 \cdot 10^{-5}$ ;

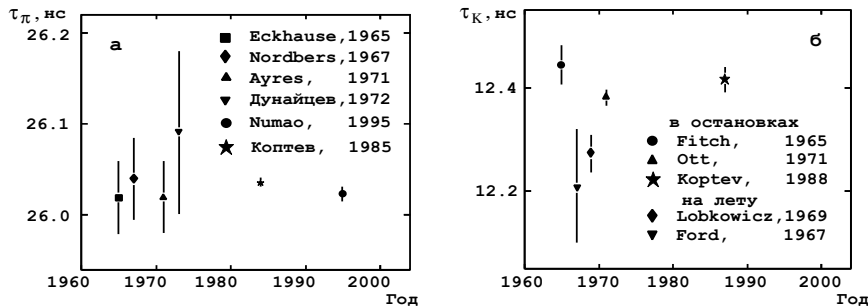
так и индивидуальные:

$\pi^+$ распад	$K^+$ распад	
• вычитание фона	$3 \cdot 10^{-5}$	$2,3 \cdot 10^{-4}$ ;
• неточность определения рабочего интервала $\Delta t$	$6 \cdot 10^{-5}$	$5 \cdot 10^{-4}$ .

Таким образом, суммарная систематическая ошибка  $\delta_c$  равнялась  $7,5 \cdot 10^{-5}$  для  $\pi^+$  распада и  $5,5 \cdot 10^{-4}$  для  $K^+$  распада. Результирующая относительная ошибка  $\delta\tau = \sqrt{\delta_F^2 + \delta_c^2}$ . Ошибка  $\Delta\tau = \tau \cdot \delta\tau$  приводится в дальнейшем как результирующая ошибка измерений времени жизни.

При измерении времени жизни  $\pi^+$ -мезона в каждой серии при величине ошибки  $\sim(0,02 \div 0,03)$  нс не наблюдается никакой зависимости значений  $\tau_\pi$  от условий эксперимента. Результаты обработки суммарных спектров для различных мишеней приведены в таблице 1. Видно, что и при относительной точности измерений  $3 \cdot 10^{-4}$  значения  $\tau_\pi$ , полученные при работе с разными мишенями, совпадают в пределах ошибок эксперимента. Поэтому результирующее значение времени жизни  $\pi^+$ -мезонов было получено после обработки просуммированного по всем сериям спектра и составляет

$$\tau_{\pi^+} = 26,0361 \pm 0,0052 \text{ нс}, \chi^2 = 0,97, \text{ C.L.} = 0,60.$$



**Рис. 7:** Сравнение результатов измерений времени жизни  $\pi^+$ -мезона (а) и  $K^+$ -мезона (б), выполненных различными группами

Достигнутая относительная точность измерений времени жизни  $\pi^+$ -мезона ( $\delta\tau_\pi = 2 \cdot 10^{-4}$ ) определяется, в основном, накопленной статистикой.

Обработка измерений времени жизни  $K^+$ -мезонов проводилась по той же методике, которая использовалась для получения  $\tau_{\pi^+}$ . Суммарное количество событий для медной и урановой мишней, полученное во время двух сеансов измерений во временном интервале  $\Delta t = 35$  нс равно соответственно  $1,5 \cdot 10^5$  и  $2,5 \cdot 10^5$ . Результирующие значения для каждой мишени, полученные как средневзвешенное по сеансам

$$\tau_{K^+} = \sum (\tau_{K^+}^i / \delta_i) / \sum (1 / \delta_i),$$

составляют

$$\begin{aligned}\tau_{K^+}(\text{Cu}) &= 12,368 \pm 0,041 \text{ нс}, \chi^2 = 1,06, C.L. = 0,66, \\ \tau_{K^+}(\text{U}) &= 12,451 \pm 0,030 \text{ нс}, \chi^2 = 1,07, C.L. = 0,63\end{aligned}$$

и отличаются друг от друга на две стандартные ошибки. Точность полученных результатов ограничена, в основном, статистикой. Средневзвешенное значение этих величин

$$\tau_{K^+} = 12,415 \pm 0,024 \text{ нс},$$

подтверждает значение времени жизни  $K^+$ -мезонов, ранее измеренное методом остановок, а точность находится на уровне мировой. Отмечается, что величина времени жизни  $K^+$ -мезонов  $\tau_{K^+}$  (рис. 7б), измеренная пролетным методом, на три стандартных отклонения меньше результатов, полученных методом остановок.

**В заключении** перечислены основные результаты диссертации.

## **Основные результаты диссертации**

Целью представляемой работы было проведение эксперимента по прецизионному измерению времени жизни  $\pi^+$ -мезона с точностью, превышающей почти на порядок точность, достигнутую в предыдущих экспериментах, вошедших в совокупность мировых данных.

**Разработан и применен новый метод** измерения времени жизни  $\pi^+$ - и  $K^+$ -мезонов, основанный на использовании периодичности микроструктуры пучка протонов, взаимодействующих с мишенью, и на детектировании положительно заряженных мюонов из распада  $\pi^+$ - и  $K^+$ -мезонов, рожденных и остановившихся в этой мишени.

Разработан и применен математический и аппаратный алгоритм подавления статистических искажений при измерении временных распределений периодического пуассоновского потока событий.

Создана экспериментальная установка, позволяющая проводить измерения времени жизни  $\pi^+$ - и  $K^+$ -мезонов с относительной систематической точностью  $7,5 \cdot 10^{-5}$  и  $5,5 \cdot 10^{-4}$ , соответственно.

Разработан измеритель временных интервалов ИВИ с системами абсолютной временной калибровки и подавления статистических искажений, вклад которых в относительную ошибку результатов измерений  $\tau_{\pi^+}$  и  $\tau_{K^+}$  не превышает  $3,5 \cdot 10^{-5}$ .

Комплекс программного обеспечения, созданного для этой работы, позволяет вести непрерывный контроль непосредственно в ходе эксперимента метрологических параметров ИВИ, определяющих высокую точность измерений, а на этапе обработки накопленных временных спектров учитывать искажения, связанные с фоном, влиянием мертвых времен различных узлов регистрирующей аппаратуры, а также с нелинейностью ИВИ.

Измеренные значения времени жизни  $\pi^+$ -мезона на различных мишенях и согласующиеся в пределах ошибок дают по суммарному спектру значение времени жизни  $\pi^+$ -мезона

$$\tau_{\pi^+} = 26,0361 \pm 0,0052 \text{ нс}, \chi^2 = 0,97 \text{ C.L.} = 0,60.$$

**Точность измерения** почти на порядок превосходит точность предыдущих работ, и полученное значение является определяющим в мировых данных.

Значения времени жизни  $K^+$ -мезона, измеренные для медной и урановой мишеней, отличающиеся друг от друга на две стандартные ошибки, дают средневзвешенное значение этих величин:

$$\tau_{K^+} = 12,415 \pm 0,024 \text{ нс},$$

которое подтверждает значение времени жизни  $K^+$ -мезона, ранее измеренное методом остановок.

Достигнутая в работе относительная точность измерений времени жизни  $\pi^+$ -мезона ( $\delta\tau_\pi = 2 \cdot 10^{-4}$ ) и  $K^+$ -мезона ( $\delta\tau_K = 2 \cdot 10^{-3}$ ) определяется, в основном, накопленной статистикой. Разработанный метод может быть применен на сильноточных циклических ускорителях (мезонные фабрики) для измерения времени жизни  $\pi^+$ -мезона. Однако энергия протонных пучков ( $T_p \sim 600$  МэВ) ускорителей такого типа существенно ниже порога рождения  $K^+$ -мезона. В этой связи следует отметить уникальность синхроциклотрона ПИЯФ, имеющего, во-первых, период повторения протонных микробанчей  $T_0 = 75$  нс, что соответствует трем временам жизни  $\pi$ -мезона, в промежутках между которыми количество протонов подавлено до уровня  $10^{-6}$ , и, во-вторых, энергии протонного пучка ( $T_p = 1$  ГэВ) достаточно для подпорогового рождения  $K^+$ -мезона.

Развитая в этой работе методика привела к улучшению на один порядок точности измерения времени жизни  $\pi^+$ -мезона. Табличное значение времени жизни  $\pi^+$ -мезона, приводимое Particle Data Group, основано на результатах именно этой работы в совокупности с результатом<sup>1</sup>, полученным на мезонной фабрике TRIUMF на основе нашей методики. Измеренное в данной работе время жизни  $K^+$ -мезона также входит в группу самых точных измерений, определяющих табличное значение, цитируемое Particle Data Group<sup>2</sup>.

Разработанный математический и аппаратный алгоритм подавления статистических искажений временных распределений с успехом применяется в исследованиях вещества  $\mu$ SR-методом на синхроциклотроне ПИЯФ.

Развитая в работе методика выделения  $K^+$ -мезонов путем регистрации задержанных мюонов, успешно применяется на спектрометре ANKE ускорителя COSY в экспериментах по исследованию реакций с образованием каонов.

### **Основные результаты диссертации опубликованы в следующих работах**

1. В.А. Волченков, В.А. Гордеев, ..., С.М. Микиртычьянц и др.  
Пи-мезонный канал малых энергий на синхроциклотроне ЛИЯФ  
(канал  $\pi - 2$ ). Препринт ЛИЯФ-612, Л., 1980, 27 с.

---

<sup>1</sup>T. Numao, J. A. Macdonald, G. M. Marshall et al. Phys. Rev. D **52**, pp. 4855-4859 (1995).

<sup>2</sup>Review of Particle Physics. Phys. Lett. B **592**, (2004).

2. Н.К. Абросимов В.А. Волченков, В.П. Коптев, ..., С.М. Микиртычьянц и др. Измерение времени жизни  $\pi^+$ -мезонов. Препринт ЛИЯФ-1073, Л., 1985, 50 с.
3. А.Л. Геталов, В.П. Коптев, С.М. Микиртычьянц и др. Установка для измерения времени жизни  $\pi^+$ -мезонов. Препринт ЛИЯФ-1405, Л., 1988, 30 с.
4. В.П. Коптев, С.М. Микиртычьянц, Г.В. Щербаков и др. Измерение времени жизни  $\pi^+$ - и  $K^+$ -мезонов // Письма в ЖЭТФ **61**, с. 865-868 (1995); JETP Lett. **61**, pp. 877-882 (1995).
5. В.П. Коптев, С.М. Микиртычьянц, М.М. Нестеров и др. Подпороговое рождение  $K^+$ -мезонов в протон-ядерных взаимодействиях // ЖЭТФ **94**, с. 1-14 (1988); JETP **67**, pp. 2177-2184 (1988).
6. S.G. Barsov, A.L. Getalov, ..., S.M. Mikirtychians et al. Investigation of superconductivity and magnetism in ceramic  $YBa_2Cu_3O_{6+x}$  // Hyperfine Int. **63**, pp. 161-168 (1990).
7. S.G. Barsov, A.L. Getalov, ..., S.M. Mikirtychians et al. Anisotropy of magnetic properties of textured superconductor  $Bi_2Sr_2CaCu_2O_{6+x}$  // Hyperfine Int. **63**, pp. 87-92 (1990).
8. А.Л. Геталов, С.Г. Барсов, ..., С.М. Микиртычьянц и др. Изучение магнитных фазовых переходов в неупорядоченных магнетиках мюонным методом // Известия РАН, сер. физическая, **56**, №7, с. 173-176 (1992).
9. С.Г. Барсов, А.Л. Геталов, ..., С.М. Микиртычьянц и др. Наблюдение линии Габея-Тулзуза в упорядоченном сплаве  $Fe_{0.6}Mn_{0.4}Pt_3$  // Письма в ЖЭТФ **60**, с. 784-786 (1994).
10. S.G. Barsov, A.L. Getalov, ..., S.M. Mikirtychians et al. Study of the CMR manganites  $La_{0.82}Ca_{0.18}MnO_3$  and  $La_{0.85}Sr_{0.15}MnO_3$  by  $\mu$ SR method // Physica B **289-290**, pp. 81-84 (2000).
11. S.G. Barsov, A.L. Getalov, ..., S.M. Mikirtychians et al. Evidence for a new magnetic phase in polycrystalline  $Cu_{1-x}Mn_x$  alloy by  $\mu$ SR // Physica B **289-290**, pp. 221-224 (2000).
12. С.Г. Барсов, А.Л. Геталов, ..., С.М. Микиртычьянц и др. Изучение магнитных характеристик гомогенных медно-марганцевых сплавов. Препринт ПИЯФ-2631, Гатчина, 2005, 14 с.

13. S. Barsov, U. Bechstedt, ..., S. Mikirtychians et al. ANKE, a new facility for medium energy hadron physics at COSY-Jülich // Nucl. Instr. Meth. A **462**, pp. 364-381 (2001).
14. V. Koptev, M. Büscher, ..., S. Mikirtychians et al. Forward  $K^+$ -Production in Subthreshold pA Collisions at 1.0 GeV // Phys. Rev. Lett. **87**, 022301 (2001).
15. M. Büscher, H. Junghans, ..., S. Mikirtychians et al. Identification of  $K^+$ -Mesons from Subthreshold  $pA$  Collisions with ANKE at COSY-Jülich // Nucl. Instr. Meth. A **481**, pp. 378-396 (2002).
16. M. Nekipelov, M. Büscher, ..., S. Mikirtychians et al. Evidence of kaon nuclear and Coulomb potential effects on soft  $K^+$  production from nuclei // Phys. Lett. B **540**, pp. 207-212 (2002).
17. V. Koptev, M. Nekipelov, ..., S. Mikirtychians et al. Observation of  $K^+d$  correlations from pA collisions // Eur. Phys. J. A **17**, pp. 235-240 (2003).
18. V. Kleber, M. Büscher, ..., S. Mikirtychians et al.  $a_0^+(980)$ -resonance production in  $pp \rightarrow dK^+\bar{K}^0$  reactions close to threshold // Phys. Rev. Lett. **91**, 172304 (2003).
19. M. Büscher, V. Koptev, ..., S. Mikirtychians et al. Inclusive  $K^+$ -meson production in proton-nucleus interactions // Eur. Phys. J. A **22**, pp. 301-317 (2004).